

ارزیابی اثر بازدارندگی دیاتanol آمین و تریاتanol آمین بر خوردگی فولاد در محیط بتن

عبدالله افشار (استاد)

دانشکده مهندسی و علم مواد، دانشگاه صنعتی شریف

مهدي ياري (دانشجوی دکتری)

بهونگ راسخ (کارشناس ارشد)

دانشکده مهندسی مواد، دانشگاه آزاد اسلامی، واحد علوم و تحقیقات

وجود ترک در بتن مسلح و نفوذ عوامل خورنده احتمال وقوع خوردگی حفره‌یی در آرماتورها را شدیداً آفرایش می‌دهد. استفاده از بازدارنده‌های خوردگی یکی از مؤثرترین روش‌ها برای کنترل این موضوع است. در این تحقیق، قدرت بازدارندگی و توانایی کنترل خوردگی حفره‌یی دو بازدارنده‌ی الی — دیاتanol آمین (DEA) و تریاتanol آمین (TEA) — با کمک روش‌های الکتروشیمیایی مورد مطالعه قرار گرفته است. نتایج نشان می‌دهد که TEA در ۰٪ درصد حجم و DEA در ۲٪ درصد حجم به بهترین شرایط بازدارندگی خود می‌رسند. قدرت بازدارندگی کمتر پایداری بیشتر لایه‌ی مضاعف و انحراف ضریب یکنواختی سطح از حالت ایده‌آل در مدل ارائه شده برای DEA نشان می‌دهد که این بازدارنده نمی‌تواند همانند TEA سطح را در برابر خوردگی حفره‌یی حفظ کند.

afshar@sharif.edu
yari.m@srbiau.ac.ir
hb2hb1@yahoo.com

واژگان کلیدی: خوردگی حفره‌یی، بتن، بازدارنده، دیاتanol آمین، تریاتanol آمین.

۱. مقدمه

آبی و هم در استفاده برای ساخت سازه‌های جدید پیدا کرده است^[۱,۲]. در این رابطه بازدارنده‌هایی از قبیل نیتریت کلسیم، منوفلوروفسفات سدیم و آمینو الکل‌های سیمفات دار مورد مطالعه قرار گرفته‌اند^[۳,۴].

برای اولین بار در این تحقیق دو بازدارنده‌ی الی با نام‌های دیاتanol آمین (DEA) و تریاتanol آمین (TEA) که بازدارنده‌هایی بر پایه‌ی آمینو الکل هستند مورد توجه قرار گرفت. قیمت کم و در دسترس بودن این مواد از ویژگی‌های باز آنها است. حضور یون مهاجم کلر در محلول سیمان که pH آن قلیایی است و شرایط را برای غیرفعال شدن فولاد فراهم می‌کند، باعث بروز خوردگی حفره‌یی در آرماتورها می‌شود. در این تحقیق با استفاده از روش‌های الکتروشیمیایی تأثیر غلظت این دو بازدارنده بر سرعت خوردگی، قدرت بازدارندگی و همچنین خوردگی حفره‌یی مورد مطالعه قرار گرفته است.

۲. آزمایش‌ها

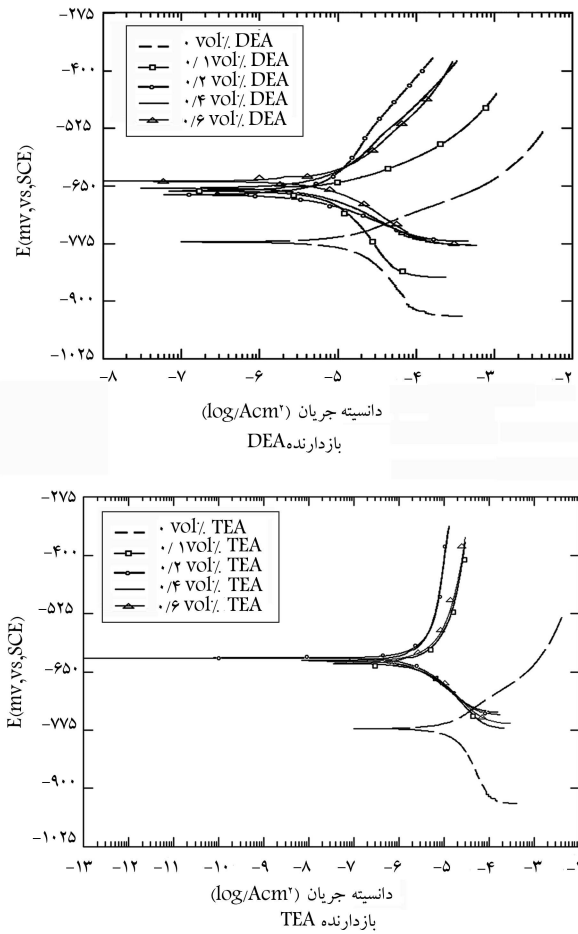
نمونه‌های آزمایشی آرماتور فولادی آج دار، که در تهیه بتن‌های مسلح متداول است، استفاده شد. حد کشسانی این آرماتور که از جنس فولاد ساده‌ی کربنی با معیار ۳۷ است، برابر با 240 Kg/m^2 است. نمونه‌های آزمایشی به علاوه 1 cm تهیه شده و پس از اتصال به یک رشتہ سیم مسی روکش دار با استفاده از رزین‌های ترموموست مانست شد. سطح نمونه‌ها با سنباده‌زنی تا شماره‌ی ۱۲۰۰ آماده‌سازی شد. قبل از هر آزمون سطح نمونه نیز توسط استون چربی‌گیری شد.

برابر تماس بتن مسلح با محیط‌های خورنده و همچنین ضربات مکانیکی، ترک‌های در بتن ایجاد می‌شود که منجر به رسیدن آب به داخل بتن می‌شود. این ترک‌ها به صورت کanal‌هایی مرتبط با یکدیگرند که هرچه تعداد و پیوستگی آنها بیشتر شود، امکان نفوذ عوامل خورنده به بتن بیشتر می‌شود. نفوذ آب و عوامل خورنده — مخصوصاً یون کلر (آب دریا) و pH قلیایی در بتن (که ناشی از ترکیب شیمیایی بتن است) — سبب خوردگی آرماتور و ایجاد انواع خوردگی موضعی یا یکنواخت می‌شود^[۱,۲]. اگر میزان یون کلر موجود در بتن کم باشد این یون در نواحی خاصی از آرماتور لایه‌ی تشکیل شده بر سطح آن را از بین می‌برد و ایجاد خوردگی حفره‌یی می‌کند؛ ولی اگر میزان یون کلر در بتن زیاد باشد لایه‌ی تشکیل شده بر سطح آرماتور به صورت سرتاسری از بین می‌رود و خوردگی یکنواخت ایجاد می‌شود. تخریب سازه‌های بتنی براثر خوردگی آرماتور هزینه‌های اقتصادی بسیار زیادی را بهمنظور تخریب، تعمیر و ساخت مجدد سازه‌های بتنی تحمیل می‌کند. تا امروز از روش‌های متعددی برای جلوگیری از خوردگی آرماتور بتن استفاده شده است که از میان آنها می‌توان به استفاده از پوشش‌ها، نمک‌زدایی از بتن، و حفاظت کاتدی اشاره کرد.

البته یکی از این روش‌ها که در سال‌های اخیر بسیار مورد توجه قرار گرفته است، استفاده از بازدارنده‌های خوردگی است که به دلیل ارزانی و سهولت اعمال، کاربرد فراوانی هم در استفاده بهمنظور سازه‌های تعمیری مانند پل‌ها، اسکله‌ها، و سازه‌های

جدول ۱. ترکیب شیمیایی محلول سیمان مورد استفاده در آزمایش‌ها.

ترکیب	Mg ⁺⁺	F ⁻	Cl ⁻	P O ₄ ³⁻	Fe ₂ O ₃	K ₂ O	Na ₂ O	SO ₄ ²⁻	CaO
مقدار (ppm)	۰,۶۵	۳,۵۱	۲۴۱	۸۱۵	۸۵۶۳	۱۰۳۸	۶۷۱۰	۸۵۷	



شکل ۱. منحنی‌های قطبش خوردگی فولاد در محیط بتن در غلظت‌های مختلف بازدارنده.

محیط خورندهٔ محلول بتن که از نسبت ۱:۱ آب مقطر و سیمان پرتابلند نوع II است، انتخاب شد. کاربرد عمومی این سیمان، که دارای گرمای هیدراتاسیون متوسطی است، در تهیهٔ ملات بتن است. به منظور بررسی تأثیر یون کلر بر خورندهٔ محلول بتن، و با توجه به مطالعات انجام‌گرفته توسط محققین، مقدار $6/83 \times 10^{-3} \text{ mol/lit}$ محلول سیمان تهیه شده نیز با استفاده از دستگاه H-pitting برابر با ۱۲٪ اندازه‌گیری شد.

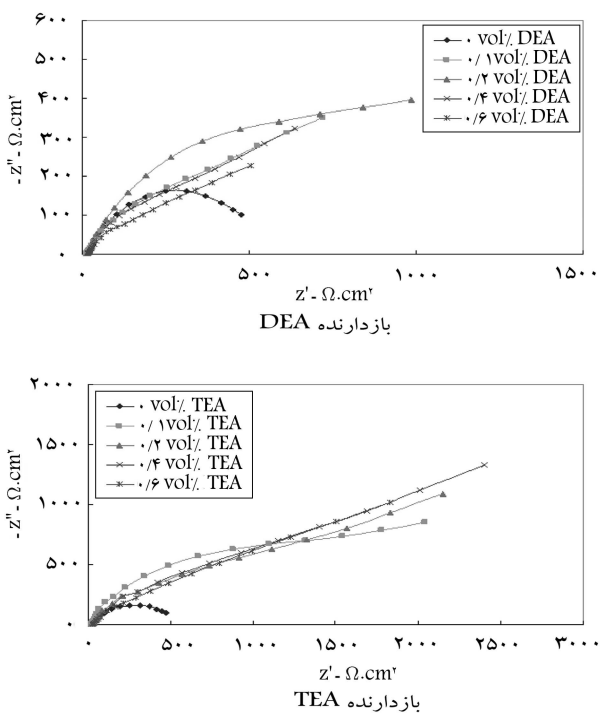
بررسی رفتار خوردگی نمونه‌های فولادی به کمک روش‌های الکتروشیمیایی و با استفاده از دستگاه پتانسیواستات (Princeton Applied EG&G) (Mdl ۲۷۳A) انجام گرفت. برای رسم منحنی‌های پلاریزاسیون به روش پتانسیوپلیمیک، ابتدا پتانسیل نمونه به مدت ۲۰ دقیقه در محلول سیمان غوطه‌ور شد تا به پتانسیل تعادلی خود نزدیک شود. پتانسیل با کمک الکترود مرجع کالومل اشباع (SCE) اندازه‌گیری شد. منحنی‌های پلاریزاسیون در محدودهٔ -200 mV تا $+200 \text{ mV}$ به نسبت به پتانسیل مدار باز رسم شد. سرعت رویش پتانسیل نیز 60 mV/min انتخاب شد. برای ارائهٔ یک مدل خوردگی از اثر بازدارنده‌ها نیز از روش طیف‌سنجی الکتروشیمیایی امپدانس (EIS) استفاده شده است. محدودهٔ فرکانس از 100 Hz تا 50 mHz با دامنهٔ پتانسیل 5 mV در نظر گرفته شد. داده‌های به دست آمده با کمک نرم‌افزار شبیه‌سازی Zsimp ۳.۲ مدل‌سازی شد.

۳. نتایج و بحث

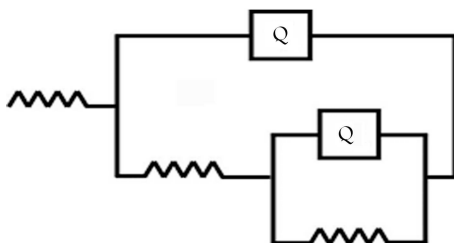
شکل ۱ منحنی‌های پلاریزاسیون خوردگی فولاد در محلول بتن حاوی صفر، ۰,۱, ۰,۲, ۰,۴, ۰,۶ درصد حجمی از بازدارنده‌های دی‌ایتل آمین (DEA) و تری‌ایتل آمین (TEA) را نشان می‌دهد. داده‌های به دست آمده از منحنی‌های پلاریزاسیون

جدول ۲. داده‌های حاصل از منحنی‌های قطبش شکل ۱.

غلظت بازدارنده (درصد حجمی)	E _{corr} mV vs SCE	I _{corr} μA/cm ²	βc mV/decade	βa mV/decade	سرعت خوردگی mpy	راندمان حفاظت (درصد)
صفر	-۷۷۲,۶	۱۸/۶۳	۸۰	-۱۹۸,۳	۸/۶۰	صفر
۰,۱	-۶۳۲,۷	۷/۸	۳۷۲,۲	-۱۴۶,۱	۲,۶	۵۷,۴۷
	-۶۶۱,۳	۸/۹	۱۶۶,۷	-۲۲۵,۲	۴,۱	۵۱,۷۲
۰,۲	-۶۲۱,۰	۵/۰	۵۷۴,۲	-۱۲۳,۰	۲,۳	۷۲,۴۱
	-۶۶۹,۷	۶,۹۶	۲۳۱,۲	-۱۸۰,۷	۲,۲	۶۲,۰۷
۰,۴	-۶۲۶,۴	۴/۶	۶۱۶,۱	-۱۱۲,۹	۲,۱	۷۴,۷۱
	-۶۵۵,۴	۸/۰	۱۶۶,۹	-۱۶۶,۷	۲,۷	۵۶,۳۲
۰,۶	-۶۲۸,۱	۷/۳	۳۷۴,۳	-۱۳۸,۶	۲,۴	۵۹,۷۷
	-۶۴۰,۴	۱۲,۰	۱۶۵,۱	-۱۴۱,۷	۰,۵	۳۵,۶۳



شکل ۳. منحنی های نایکویست مر بوط به فولاد در محلول سیمان با غلظت های مختلف



شکل ۴. مدار معادل ارائه شده برای سیستم خوردگی در محلول سیمان حاوی بازدارنده های TEA و DEA.

جدول ۳. داده های به دست آمده از منحنی های نایکویست شکل ۳

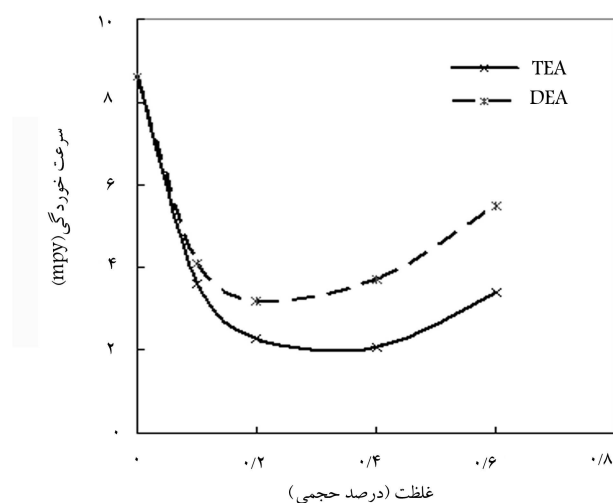
توان فرکانس (n)	ظرفیت خازن (μF)	R_p ($\Omega \cdot \text{cm}^2$)	غلظت بازدارنده (vol)
۰,۶۱	۱۰۹,۵	۵۰۸,۲	شاهد
۰,۶۸	۲۸۴۱,۴	۸۹۹,۹	DEA
۰,۷۴	۱۸۲۵,۷	۲۰۳	TEA
۰,۵۹	۲۳۳۰,۵	۱۲۶۰	DEA
۰,۵۱	۸۱۷,۶۵	۱۱۷۸۱	TEA
۰,۷۸	۲۲۵۵,۶	۱۲۰۱	DEA
۰,۷۸	۶۲۵,۵۵	۴۶۰,۸۸	TEA
۰,۷۰	۳۱۶۰,۵	۶۴۰,۱	DEA
۰,۶۶	۶۲۲,۳۱	۲۷۲۱۱	TEA

می شود. همچنین با بررسی تغییرات شبیه های تافل با غلظت بازدارنده ها می توان دریافت که این بازدارنده ها بیشترین تأثیر را در واکنش آندی دارند. بنابراین می تواننتیجه گرفت که این بازدارنده ها از نوع آندی هستند. با توجه به محیط قلیابی بت، در اثر اکسایش آهن یک لایه هیدروکسید آهن روی سطح تشکیل می شود.

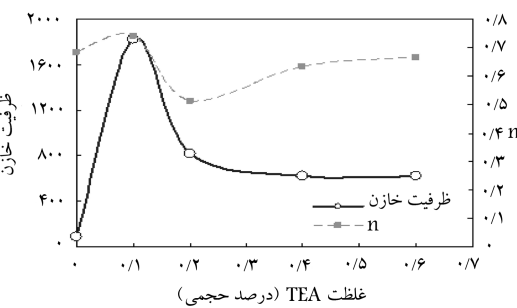
براساس نمودار پوربه^۱ مربوط به آب - آهن، این لایه می تواند مانع ادامهی خوردگی فولاد شود. اما حضور غلظت زیادی از یون کار باعث می شود که لایهی تشکیل شده تخریب شود، و تواند مانع از خوردگی آهن در محیط آبی با pH قلیابی شود. بازدارنده های DEA و TEA به عنوان بازدارنده های آندی از سویی قادرند با تضعیف عملکرد یون کار و با کمک به تشکیل لایهی محافظ مانع از خوردگی بیشتر فولاد شوند، و از سوی دیگر به عنوان بازدارنده های آندی، نواحی فعال سطح آند را پوشانده و میزان سطح آندی را کم کرده و باعث کاهش واکنش آندی و نهایتاً کاهش سرعت خوردگی شود. با توجه به کارایی زیاد بازدارنده TEA (حدود ۷۵ درصد در غلظت ۴٪ درصد حجمی) می توان گفت که این بازدارنده نه تنها قادر است مانع پیشرفت خوردگی شود، بلکه می تواند خوردگی حفره بی را به طور کامل متوقف کند. این سازوکار برای سایر بازدارنده های بر پایهی آمینوالکل نیز مشاهده شده است [۷, ۸]. در شکل ۲ تغییرات سرعت خوردگی با توجه به غلظت بازدارنده های DEA و TEA ارائه شده است. تریاتنول آمین (TEA) در تمام غلظت ها عملکرد بهتری از خود نشان داده است. اگرچه می تواند تا حد زیادی مانع از خوردگی حفره بی شود، تنومنته همانند بازدارنده TEA آن را کاملاً متوقف کند.

منحنی های نایکویست در غلظت های مختلف از بازدارنده های DEA و TEA در شکل ۳ ارائه شده است. همچنین داده های به دست آمده از این منحنی ها در جدول ۳، و نهایتاً مدار معادلی که برای این سیستم خوردگی با بهترین شرایط شبیه سازی پیشنهاد شد، در شکل ۴ مشاهده می شود. مشابه این مدار معادل توسط سایر محققین نیز در شرایط مشابه ارائه شده است. این مدار دو لایهی مضاعف غیر کامل (Q) روی سطح را نشان می دهد که مؤید حضور و تأثیر این بازدارنده ها روی سطح فولاد و کاهش سرعت خوردگی است.

در مورد بازدارنده TEA، با افزایش غلظت بازدارنده Rp افزایش یافته و در غلظت ۴٪ درصد حجمی به بیشترین مقدار خود رسیده است. در این غلظت



شکل ۲. تغییرات سرعت خوردگی فولاد در محلول بتون با غلظت بازدارنده های TEA و DEA

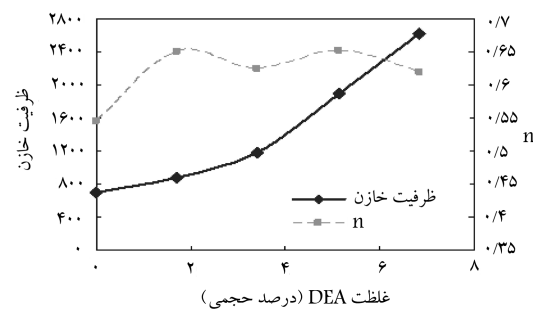


شکل ۵. تغییرات ظرفیت خازنی لایه‌ی مضاعف و ضریب یکنواختی سطح (n) با غلظت بازدارنده‌ی TEA.

در شکل ۵ تغییرات ضریب یکنواختی سطح (n) با غلظت بازدارنده مشخص شده است. چنان که مشاهده می‌شود افزایش n، با افزایش غلظت TEA، ظرفیت خازنی کاهش تمایل به خوردگی حفره‌ی است. شرایط مشابهی برای بازدارنده‌ی DEA قابل تصور است (شکل ۶)، با این تفاوت که: اولاً بیشترین تأثیر بازدارنده در غلظت ۲٪ درصد حجمی ظاهر می‌شود؛ ثانیاً در غلظت بهینه، ظرفیت خازنی لایه‌ی مضاعف به مقدار ثابتی نمی‌رسد، که این عدم پایداری و تغییرات ظرفیت خازنی نشان‌دهنده ضعف بازدارنده و افزایش احتمال وقوع خوردگی است؛ ثالثاً مقدار n نسبت به مقدار ایده‌آل خود (یعنی ۱) فاصله‌ی زیادی دارد. بنابراین اگرچه این بازدارنده توانسته تا حد زیادی مانع از خوردگی شود، قادر به توقف کامل خوردگی حفره‌ی نیست. نتایج به دست آمده از منحنی‌های نایکوپیست، مؤید توجیحات ارائه شده از منحنی‌های قطبیش است.

۴. نتیجه‌گیری

- استفاده از بازدارنده‌ی تری‌اتانول آمین (TEA) با غلظت بهینه‌ی ۴٪ درصد حجمی در دوغاب‌های بتون، به میزان قابل توجهی از خوردگی آرماتور فولادی در بتون‌های مسلح می‌کاهد. کارایی بازدارنده‌ی آن در این غلظت تا ۷۵٪ می‌رسد.
- بازدارنده‌ی دی‌اتانول آمین (DEA) با قدرت حفاظت کم‌تر نسبت به TEA در غلظت ۲٪ درصد حجمی به بهترین شرایط می‌رسد.
- انحراف بیش از حد ضریب یکنواختی سطح (n) از مقدار ایده‌آل خود در DEA و همچنین ناپایداری ظرفیت خازنی نشان‌دهنده عدم توانایی این بازدارنده در توقف کامل خوردگی حفره‌ی است.



شکل ۶. تغییرات ظرفیت خازنی لایه‌ی مضاعف و ضریب یکنواختی سطح (n) با غلظت بازدارنده‌ی DEA.

ظرفیت خازنی لایه‌ی مضاعف به بیشترین مقدار خود می‌رسد و پس از کاهش در غلظت‌های بالاتر در مقدار ثابتی باقی می‌ماند (شکل ۵). به عبارت دیگر بیشترین تأثیر بازدارنده در این غلظت ۴٪ درصد وزنی است.

پانوشت

1. pourbaix

منابع

- Huet, B. "Electrochemical behavior of mild steel in concrete, Influence of pH and carbonate content of concrete pore solution", *Electrochimica Acta*, **51**, pp. 172-180 (2005).
- Fang, C. "Effect of corrosion on bond in reinforced concrete under cyclic loading", *Cement and Concrete Research*, **36**, pp. 548-555 (2006).
- Hansson, C.M. "Corrosion Inhibitors in Concrete, Part I: The Principles", *Cement and Concrete Research*, **28**(12), pp. 1775-1781 (1998).
- Saricimen, H. "Effectiveness of concrete inhibitors in retarding rebar corrosion", *Cement and Concrete Composites*, **24**, pp. 89-100 (2002).
- Baghabra, Omar S. "Effectiveness of corrosion inhibitors in contaminated concrete", *Cement and Concrete Composites*, **25**, pp. 439-449 (2003).
- Jamil, H.E. "Electrochemical behaviour of amino alcohol-based inhibitors used to control corrosion of reinforcing steel", *Electrochimica Acta*, **49**, pp. 2753-2760 (2004).
- Jamil, H.E. "An electrochemical and analytical approach to the inhibition mechanism of an amino-alcohol-based corrosion inhibitor for reinforced concrete", *Electrochimica Acta*, **48**, pp. 3509-3518 (2003).